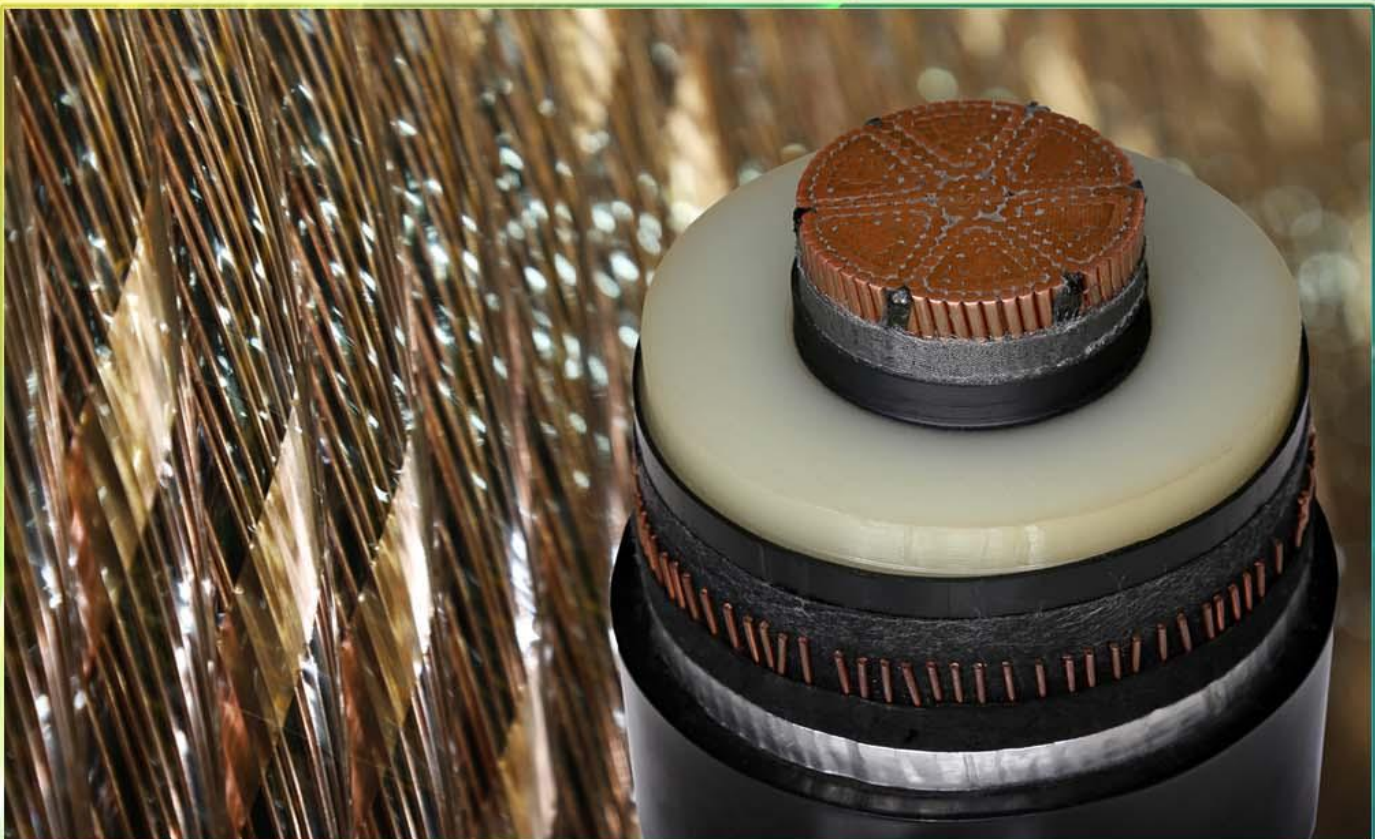


SIMCO

هادی های بهینه شده و کاهش مقاومت AC



تهیه کننده : شرکت سیمکو ، واحد تحقیق و توسعه و آموزش

(مقاله به چاپ رسیده در مجله سیم و کابل)

هادی های بهینه شده و کاهش مقاومت AC

مقدمه

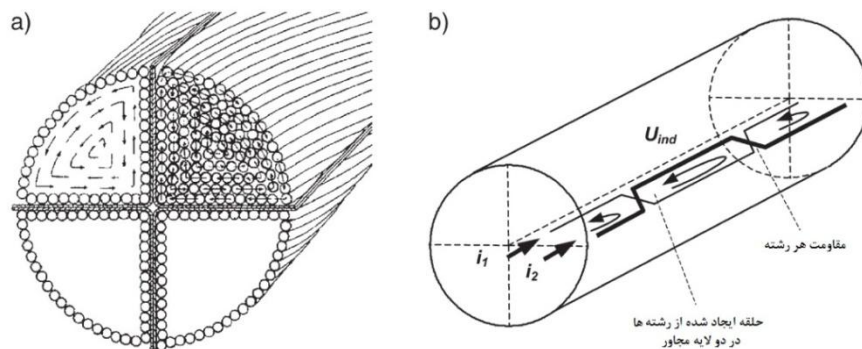
با افزایش شدید تقاضای انرژی الکتریکی ، درخواست کابل های زمینی نیز افزایش چشمگیری داشته است و برای انتقال این انرژی از کابل های با مقاطع بالا استفاده می گردد . جریان مجاز کابل های AC فشار قوی به شدت وابسته به مقاومت AC هادی است . مقاومت R_{AC} (به دلیل اثر پوستی از مقاومت DC R_{DC}) بیشتر است . جریان AC در هادی ایجاد میدان مغناطیسی متناوب می نماید . این میدان مغناطیسی ولتاژ را القاء می نماید که در مرکز هادی با عبور جریان مخالفت و در سطح هادی باعث افزایش جریان می شود . با استفاده از هادی های قطاعی می توان تلفاتی که به وسیله اثر پوستی ایجاد می شود ، کاهش داد . این روش با استرنند هادی های عایق شده نیز به شدت بهبود می یابد . این مسئله اولین بار توسط هامفریس میلیکن¹ پیشنهاد گردید .

اختلاف بین مقاومت AC و مقاومت DC با افزایش سطح مقطع شدت بیشتری می گیرد . لذا در این مقاطع با استفاده از تغییر ساختار هادی می توان اثر پوستی را کاهش داد و در نتیجه تلفات اضافی ناشی از مقاومت AC هادی را حداقل کرد و این مسئله همچنین می تواند به کاهش سطح مقطع هادی موردنیاز منجر گردد .

اندازه گیری اثر پوستی یا مقاومت AC بر روی کل طول کابل تحت شرایط عملی دشوار است . در حال حاضر ، استاندارد IEC 60228 هیچ توصیه ای در خصوص چگونگی انجام صحیح اندازه گیری مقاومت AC ندارد . به منظور بکارگیری توانایی کامل در کاهش اثر پوستی هادی ها و تضمین کیفیت در حین تولید به روش هایی برای اندازه گیری نیاز است ، که به سادگی بکار رود و نتایج دقیق و قابل تکرار ارائه دهد . هدف از این مقاله بررسی اختلاف بین مقاومت AC و DC ، تاثیر ساختار هادی بر روی مقاومت AC و سایر مشخصات و در نهایت روش های اندازه گیری مقاومت AC است .

مقاومت AC

در هادی ها جریان نامی AC به مقاومت AC هادی بستگی دارد . به دلیل وجود اثر پوستی مقاومت AC از مقاومت DC بیشتر است . اثر پوستی بر اساس عمق جریان گردابی بستگی به فرکانس (f) ، رسانایی (σ) ، ضریب نفوذ پذیری مغناطیسی (μ) دارد . تلفات AC ایجاد شده توسط اثر پوستی می تواند با استفاده از هادی های بهینه شده مانند هادی های میلیکن ، هادی های دارای رشته های عایق شده ، رشته های لاکی یا اکسیده شده کاهش یابد . ساختمن هادی ها از نظر طراحی ، تعداد و جهت تاب قطاع ها و جزئیات خاص تولید اهمیت زیادی جهت بهینه سازی هادی ها و کاهش تلفات AC دارد .



شکل 1 : هادی میلیکن

در هادی های میلیکن ، در هر قطاع رشته های هادی به صورت مرتب در لایه هایی چیده می شوند . پیچش رشته ها در هر لایه باعث می شود تا فاصله هر یک از رشته ها تا مرکز در طول هادی تغییر کند (شکل 1) و این مسئله باعث می شود تا در لایه های مجاور بوسیله

رشته ها یک حلقه ایجاد گردد . جریان این حلقه توسط ولتاژ القاء شده و امپدانس حلقه بdst می آید . هادی های دارای لایه های هم جهت نسبت به هادی های با جهت های مخالف دارای مقاومت AC کمتری هستند . بنابراین برای رشته های عایق نشده می توان با استفاده از لایه های هم جهت تلفات AC را کاهش داد . وقتی که رشته های عایق شده مورد استفاده قرار می گیرد تلفات AC اضافی حداقل می شود .

روابطی که مقاومت AC را از به مقاومت DC مرتبط می سازد ، در استاندارد IEC 60287-1-1 آمده است . این روابط برای هادی های قطاعی و هادی های بهینه شده با ضرایبی تجربی بدست آمده است . این اندازه گیری ها بر روی کابل های پرشده از روغن و مقطع mm² 4 و 1600 قطاعه انجام شده و تعمیم داده شده اند .

رابطه بین مقاومت AC و DC را می توان بوسیله رابطه زیر بیان کرد :

$$R_{ac} = R_{dc} \left(1 + y_s + y_p \right)$$

$$y_s = \frac{x_s^4}{192 + 0.8 x_s^4}, \quad x_s^2 = \frac{8\pi f}{R_{dc}} * 10^{-7} k_s$$

$$y_p = 2.9 \frac{x_p^4}{192 + 0.8 x_p^4} \left(\frac{d_c}{s} \right)^2, \quad x_p^2 = \frac{8\pi f}{R_{dc}} * 10^{-7} k_p$$

که در آن y_s ضریب اثر پوستی و y_p ضریب اثر هم جواری هستند ، k_s و k_p نیز ضرایبی هستند که برای محاسبه ضریب اثر پوستی و ضریب اثر هم جواری 2 مورد استفاده قرار می گیرند ، همچنین f فرکانس ، d_c قطر هادی و s فاصله محوری بین هادی ها هستند . CIGRE در سال 2002 کارگروه B1-03 را جهت تعیین مقاومت AC هادی های با مقطع بالا تشکیل داد . گزارش نهایی آنها در سال 2005 در بروشور فنی 272 منتشر شد . این گروه رویکرد واقع گرایانه مبتنی بر اندازه گیری را برای تحقیقات انتخاب نمود . جدول زیر نتیجه این تحقیقات است :

مقدار k_p	مقدار k_s	نوع هادی
0.15	0.25	سیم های مسی لاکی و سیم های آلومینیومی
0.20	0.35	سیم مسی اکسیده شده (مقادیر برای استرنند یک جهته)
0.37	0.50	مس با لایه داخلی عایق شده
0.37	0.62	سیم های مسی ساده با استرنند یک جهته
0.37	0.80	سیم های مسی ساده با استرنند دو جهته

لازم به یادآوری است که طبق استاندارد IEC 60287-1-1 مقادیر k_s و k_p برای هادی های قطاعی به ترتیب 0.435 و 0.37 می باشد . البته مقادیر اعلام شده توسط این استاندارد فقط برای مقاطع کمتر از 1600 می باشد .

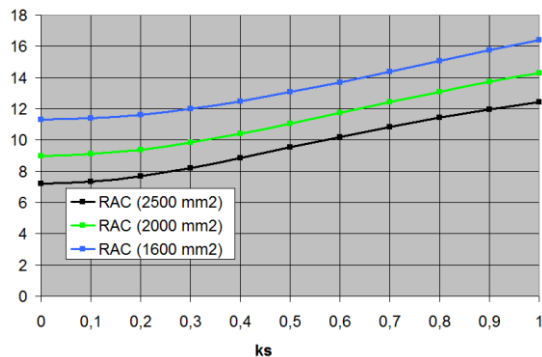
برای بررسی بیشتر اثر پوستی بر روی شرایط واقعی متمنکر می شویم . مقدار اثر هم جواری کمتر از یک دهم مقدار اثر پوستی است و در نتیجه از آن صرفه نظر می گردد . حال بهتر است تاثیر k_s بر روی مقاومت AC و جریان قابل تحمل را بررسی نماییم .

تأثیر k_s بر روی مقاومت AC و جریان مجاز

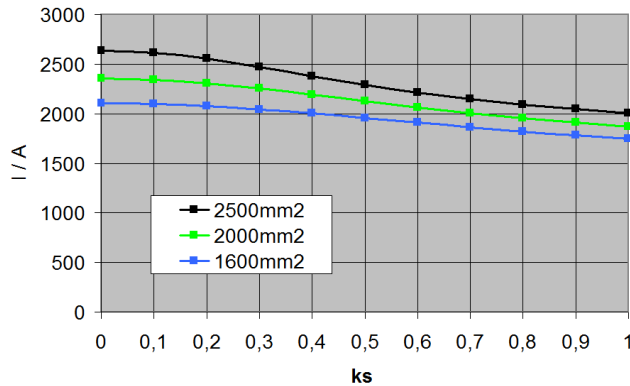
مقدار $k_s=0$ بین صفر تا یک تغییر می نماید . به ازای $k_s=0$ مقاومت AC و مقاومت DC با هم برابرند یا به عبارتی بهتر می توان گفت که در این حالت بهینه سازی هادی به صورت کامل رخداده است . مقدار $k_s=1$ نیز نمایشگر حالتی است که هیچ گونه بهینه سازی انجام نگرفته است .

حال برای شفاف سازی بیشتر تاثیر k_s بر روی مقاومت AC و جریان مجاز را بررسی خواهیم کرد .

ضریب k_s برای فرکانس صفر (شرایط جریان DC) برابر صفر است . دانستن تلفات AC در محاسبه جریان نامی کابل و انتخاب مقاطع بسیار مهم است . شکل 2 مقاومت AC را بر اساس ضریب k_s برای مقاطع مختلف نشان می دهد که در آن محاسبات بر اساس مقادیر داده شده در استاندارد IEC 60228 محاسبه شده است . شکل 3 نیز نمونه ای از محاسبات ظرفیت جریان بر اساس پیش فرض تلفات هادی 50W/m را نشان می دهد .



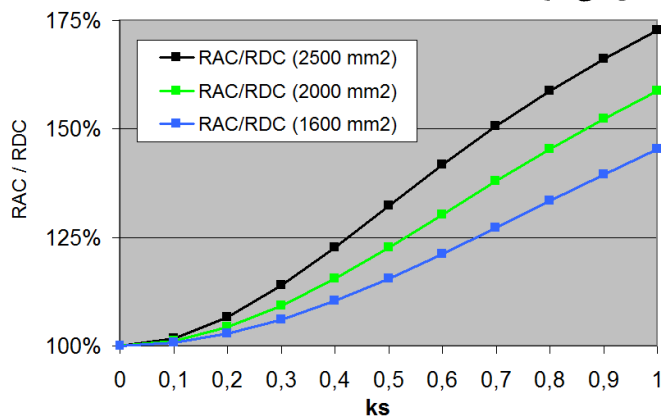
شکل 2 : گسترش مقاومت AC (بر حسب $\mu\Omega/m$) در دمای 20 درجه برای مقاطع مختلف هادی



شکل 3 : محاسبه ظرفیت جریان : حداقل تلفات هادی 50W/m

چنانچه از شکل های 2 و 3 پیداست مقاومت AC برای مقطع DC 2500mm² از مقاومت 1600mm² نیز بیشتر است و همین مسئله را به صورت مشابه می توان در برای ظرفیت جریان نیز مشاهده نمود . این شکل ها به وضوح تاثیر طرح های بهینه هادی را نشان می دهد . حال بهتر است نسبت بین مقاومت AC و DC را مقایسه نماییم .

شکل 4 رابطه بین مقاومت AC و مقاومت DC است و اهمیت اندازه گیری مقاومت AC ناشی از کاهش اثر پوستی را نشان می دهد . این موارد نشان می دهد که در مقاطع بالاتر این نسبت افزایش چشمگیری می یابد . در نتیجه در مقاطع بالاتر ضرورت استفاده از هادی های بهینه جهت کاهش مقاومت AC بیشتر احساس می گردد .



شکل 4 : رابطه بین مقاومت Rac و Rdc

هم اکنون در انتقال از طریق کابل های قدرت از هادی های با مقاطع بالا استفاده می گردد . به طور مثال هادی های با مقطع 2500mm² ، قطری در حدود 60mm دارند که این قطر در مقایسه با عمق اثر پوستی کوچک نیست . گزارش CIGRE کارگروه B1-03 که در سال 2005 منتشر شد نیز تمایل و مزایای استفاده از هادی های بهینه شده را نشان می دهد .

جدول ذیل نسبت مقاومت AC به مقاومت DC را در دمای ۹۰°C نشان می دهد که مقادیر اندازه گیری شده با مقادیر فرمول های IEC و CIGRE مقایسه شده است .

نوع هادی										قطع	
میلیکن لاكى				میلیکن استاندارد				گرد			
اندازه گيرى	CIGRE	IEC	اندازه گيرى	CIGRE	IEC	اندازه گيرى	CIGRE	IEC			
1/04	1/025	1/07	1/25	1/20	1/07	1/31	NA	1/30	1600		
1/04	1/04	1/11	1/35	1/30	1/11	1/45	NA	1/40	2000		
1/065	1/06	1/16	1/45	1/41	1/16	1/61	NA	1/53	2500		

NA : توسط CIGRE عددی تعیین نشده است

جدول بالا کیفیت کار CIGRE را نشان می دهد که در آن مقادیر محاسبه شده اثر پوستی بسیار نزدیک به مقادیر اندازه گیری شده هستند . روابطی که IEC برای مقاطع بالا مورد استفاده قرار داده نتایج خوش بینانه هستند و در استاندارد 60287-1-1 IEC نیز اعلام کرده که پارامترهای اعلام شده فقط برای مقاطع کوچکتر از 1600mm² معتبر هستند .

مقایسه مشخصات کابل با طراحی استاندارد و هادی با رشته های سیم لاكى

به منظور ارزیابی مزایای ساختارهای بهبود یافته هادی ، نیاز است تا عملکرد طراحی استاندارد (سیم مسی لخت) و طراحی رشته های عایق شده (به طور نمونه سیم های لاكى) در کابل با یکدیگر مقایسه شوند .

برای نمونه ، کابل هایی با مقاطع 2500mm² ، 2000mm² ، 1600mm² ، 1200mm² بر اساس استاندارد IEC 60228 تولید گردید . مقدار مقاومت این کابل ها اندازه گیری شد . طول نمونه 12m بوده و همه مفتول های هادی در دو انتهای به یکدیگر متصل شدند و فاصله بین پروف ها 8m بود .

کابل ها به صورت 400 کیلوولت ، عایق XLPE ، اسکرین نوار آلومینیوم درز جوش شده و روکش HDPE هستند . چنین مقایسه ای در این مقاله به عنوان یک راهنمای مفید خواهد بود .

جدول ذیل مشخصات اصلی و اجرایی مقاطع مختلف را در شرایط نصب یکسان نشان می دهد . هادی ها با ساختار میلیکن ، استرنند دو جهته و با 6 قطاع در نظر گرفته شده اند . محاسبات مقاومت AC هادی نیز بر اساس ضربیب اثر پوستی و اثر هم جواری kp و ks اعلام شده از طرف CIGRE در بروشور فنی شماره 272 محاسبه شده است .

3000e	3000	2500e	2500	2000e	2000	1600e	1600	1200e	1200	mm ²	نوع و قطع هادی
147	147	143	140	131	131	125	125	117	117	mm	قطر نهایی
39.7	39.7	36.38	35.8	29.28	29.27	24.85	24.85	20.3	20.3	Kg/m	وزن
1907.5	1630.0	1780.0	1558.5	1626.5	1460.9	1463.0	1351.0	1271.9	1208.0	A	جریان مجاز
1321.5	1129.6	1233.4	1079.7	1126.9	1012.1	1013.0	935.9	881.2	836.9	MVA	توان انتقالی
119.1	118.1	117.1	116.0	113.7	113.3	110.2	109.9	107.0	106.9	kW/km	تلفات در حداقل جریان
8.315	11.916	9.742	13.116	11.928	15.055	14.469	17.501	19.524	21.743	$\mu\Omega/m$	مقاومت AC در 90 درجه
1.087	1.554	1.061	1.434	1.039	1.312	1.025	1.215	1.014	1.129	-	R_{ac}/R_{dc}
523	523	552	550	876	876	1094	1094	1150	1150	m	طول کابل در هر فقره

• $kp=0.37$ برای هادی مسی لخت $ks=0.80$

• $kp=0.15$ برای سیم های مسی لاكى $ks=0.25$

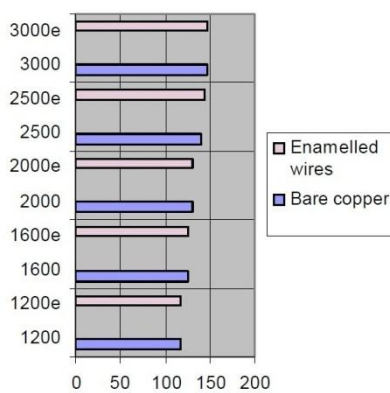
شرایط نصب نیز برای هر دو کابل به صورت یکسان در نظر گرفته شده است

- دو مدار موازی
- چینش تخت با فاصله 350mm بین کابل ها
- عمق دفن : 1300mm
- مقاومت حرارتی خاک : 1/0 Km/W
- دمای زمین : 20°C

در جدول ذیل پسوند e برای سیم لاکی مورد استفاده قرار گرفته است ، یعنی هادی در ساختار خود شامل تعدادی رشته عایق شده است که از هرگونه اتصال الکتریکی بین رشته ها جلوگیری می کند . تلفات نیز بر اساس جریان نامی و برای یک مدار داده شده است .

قطر نهایی کابل

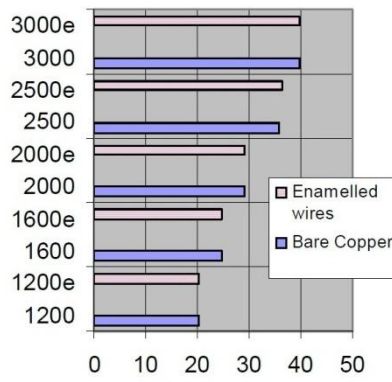
غیر از مقطع 2500mm² که ساختار آن برای نوع سیم های عایق شده متفاوت است ، در باقی موارد قطر هادی اختلافی بین مقاطع یکسان وجود ندارد . این مسئله در نمودار ذیل نشان داده شده است .



شکل 5 : مقایسه قطر کابل ها (mm) برای سایز های مختلف

وزن کابل

به دلایل مشابه آنچه در قسمت قبل گفته شده در بین دو نوع طراحی اختلاف وزن کمی وجود دارد .

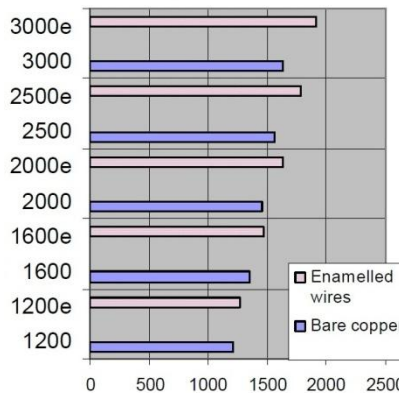


شکل 6 : مقایسه وزن کابل ها (kg/m) برای سایز های مختلف

جریان مجاز

این قسمت جالبترین شاخصه کابل هایی را که هادی آن از سیم های عایق استفاده شده است را نمایش می دهد . به دلیل ضرایب اثر پوستی و اثر هم جواری ، ظرفیت جریان کابل های با سیم های عایق شده از یک کابل با هادی ساده با یک مقطع بالاتر بیشتر است .

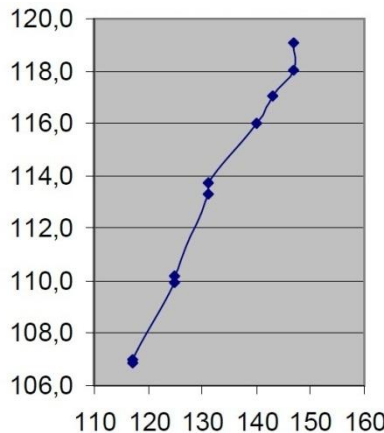
به طور مثال ظرفیت جریان کابل با مقطع 1600 با سیم های لاکی نسبت به کابل استاندارد با مقطع 2000 بالاتر است . برای مقاطع پایین تر از 1600 این قاعده برقرار نیست . اما برای مقاطع 1600 و بالاتر همیشه این رابطه برقرار است و هادی های با سیم های لاکی نسبت به هادی ساده با یک مقطع بالاتر ظرفیت جریان بالاتری دارد . این اختلاف با افزایش مقطع باز هم افزایش می یابد .



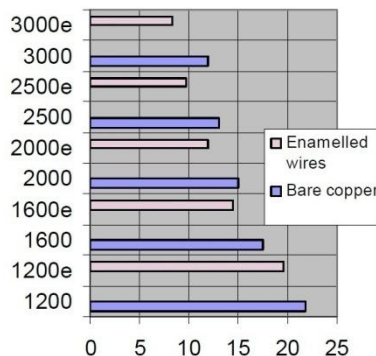
شکل 7 : مقایسه جریان مجاز (A) برای سایز های مختلف

تلفات کابل

در جدول 1 تلفات بر اساس حداکثر جریان مجاز محاسبه شده بود که جریانی است که دمای هادی را به 90 درجه می رساند . این مسئله قابل توجه است که تلفات هادی در 90 درجه با سایز کابل و جریان تغییرات زیادی ندارد و در واقع مقاومت حرارتی داخلی برای همه کابل ها خیلی مشابه است و مقدار حرارتی که می تواند به محیط دفع نماید مقدار ثابتی است و فقط با قطر نهایی کابل تغییر می نماید .



شکل 8 : مقایسه تلفات کابل بر حسب قطر (mm) برای سایز های مختلف در دمای هادی 90 درجه

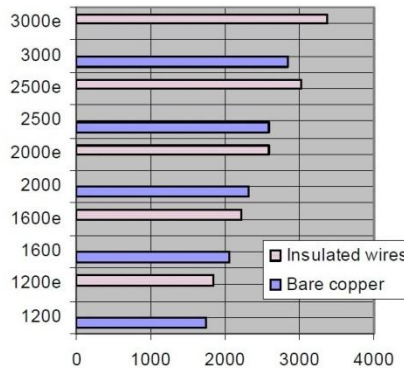


شکل 9 : مقایسه مقاومت AC (μΩ/m) برای سایز های مختلف در دمای 90 درجه

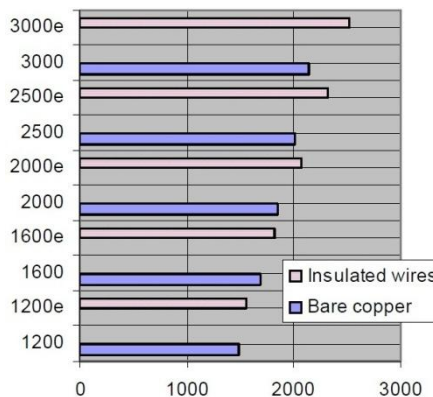
با استفاده از هادی سیم های لاکی ، کل تلفات می تواند برای جریان مشخص ، به همان نسبت مقاومت AC کاهش یابد .

ظرفیت اضافه بار

ممکن است تعجب برانگیز باشد که ظرفیت تحمل اضافه بار کابل ها با سیم های عایق شده به اندازه کابل های استاندارد باشد . در واقع کابل های با سیم های عایق شده کوچکتر و سبک تر هستند و ظرفیت حرارتی آنها نیز کمتر است . به هر حال تلفات آنها کمتر از یک کابل استاندارد (با یک مقطع بالاتر است) و ظرفیت جریان اضافه بار آن بسیار نزدیک و برای مقاطع خیلی بزرگ حتی نیز هست . این مسئله در دو گراف ذیل نشان داده شده است .



شکل 10 : مقایسه ظرفیت جریان اضافه بار (A) در یک ساعت برای سایز های مختلف



شکل 11 : مقایسه ظرفیت جریان اضافه بار (A) در 5 ساعت برای سایز های مختلف

در خصوص نمودار های فوق ، فرضیات ذیل در نظر گرفته شده است :

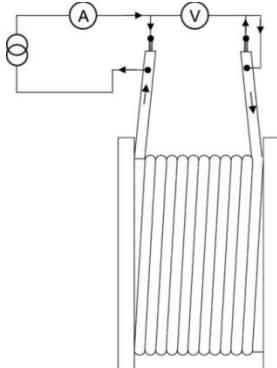
- شروع از حداکثر بار (در دمای هادی 90 درجه)
- حداکثر دمای هادی در اضافه بار: 100 درجه
- محاسبات بر اساس استاندارد IEC 60853-2 انجام شده است

اندازه گیری مقاومت AC

دو روش پایه برای تعیین مقاومت AC در هادی وجود دارد . اولین آنها روش رنگ سنجی است که این روش بر مبنای اندازه گیری اختلاف دما ناشی از تلفات هدایتی است . این روش بسیار زمان بر است . دومین روش ، روش های الکتریکی اندازه گیری مقاومت AC است . این روش ها بر مبنای اندازه گیری جریان هادی و تعیین سهم ولتاژ مربوط به این جریان است . همه این روش ها به شدت به عدم حضور میدان مغناطیسی یا مواد مغناطیسی غیر خطی وابسته است . در این روش ها ولتاژ با یک دستگاه دیجیتاالیز 3 با سرعت عکس برداری بالا (بیشتر از یک میلیون نمونه در هر ثانیه) ثبت می گرددند . اطلاعات نمونه برداری مقادیر مختلط ولتاژ و جریان هستند . با استفاده از فرم تبدیل فوریه ، مقاومت AC را می توان به سادگی به صورت زیر بدست آورد :

$$R_{ac} = \frac{|\tilde{V}|}{|\tilde{I}|} \cos(\arg(\tilde{V}) - \arg(\tilde{I}))$$

که در آن \tilde{V} تبدیل فوریه ولتاژ و \tilde{I} تبدیل فوریه جریان است
 این روش حتی می‌تواند به صورت آزمون روتین نیز استفاده گردد. جریان از طریق یک سمت کابل تزریق می‌گردد و در طرف دیگر نیز هادی و اسکرین به یکدیگر وصل شده‌اند. بنابراین افزایشی در مقاومت AC ناشی از جریان دورهای کناری (اثر هم جواری) وجود ندارد.
 میدان مغناطیسی ناشی از جریان هادی بوسیله میدان مغناطیسی ایجاد شده توسط اسکرین خنثی می‌گردد. به این طریق می‌توان افت ولتاژ در طول کابل اندازه گیری و در نتیجه مقاومت AC را تعیین کرد.



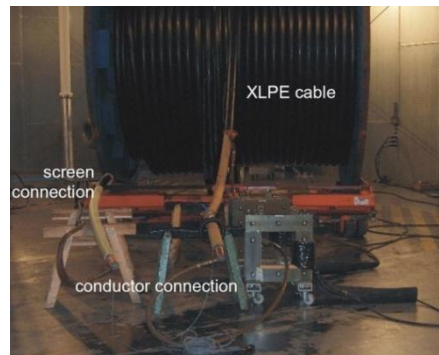
شکل 12 : طرح شماتیک اتصالات در اندازه گیری مقاومت AC

دقت فاز تحت تاثیر تعداد نمونه برداری قرار دارد و با فرض خطای نمونه برداری 1 ± 1 نمونه دقت فاز را می‌توان بوسیله رابطه زیر بدست آورد.

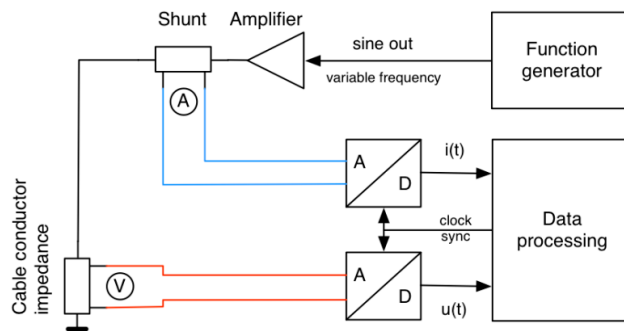
$$\Delta\varphi = \frac{2\pi f}{SR}$$

که در آن f فرکانس و SR سرعت نمونه برداری است.

اندازه گیری در فرکانس نزدیک به صفر منجر به اندازه گیری DC (به ازای $ks=0$) خواهد شد. در فرکانس‌های بالاتر نتایج نشان دهنده تاثیر طراحی هادی در ضریب ks است.



شکل 13 : اندازه گیری مقاومت AC بر روی کابل با طول کامل بر روی قرقره



شکل 14 : بلک دیاگرام تجهیزات استفاده شده



شکل 15 : تجهیزات ساده و قابل کنترل برای اندازه گیری مقاومت AC

نتیجه گیری

استفاده از هادی های بهینه شده برای مقاطع بالا در کاهش مقاومت AC و افزایش ظرفیت جریان تاثیر بسیاری دارد . طرح هایی که جهت بهینه سازی هادی استفاده می گردند شامل هادی های میلیکن هستند که در آنها می توان با عایق کردن هر یک از رشته ها (استفاده از سیم های لاکی) و یا استفاده از مس اکسید شده وضعیت را بهبود بخشد.

استفاده از هادی های بهینه شده در مقاطع کوچکتر تاثیر کمی دارد اما با افزایش مقطع ، افزایش چشمگیری دارد به صورتی که حتی می توان از مقاطعی پایین تر نیز استفاده نمود .

استفاده از هادی های لاکی باعث افزایش هزینه نصب می گردد زیرا برقراری اتصالات هادی های لاکی نیاز به تکنیک و ابزار مخصوص به خود دارد .

تحت شرایطی که امکان عایق نمودن رشته های هادی وجود نداشته باشد می توان با استرنزد یک جهته هادی ، مقاومت AC را کاهش داد .

اندازه گیری مقاومت AC به دو روش انجام می شود . روش اول ، روش رنگ سنجی یا روش حرارتی است که بسیار زمان بر است . اما روش دوم که به صورت اندازه گیری های الکترونیکی است کمک زیادی در بررسی میزان کاهش مقاومت AC می نماید .

کلمات کلیدی

- [1] . Humphreys Milliken
- [2] . Proximity effect
- [3] . Digitizer

منبع

- [1] . D. Dubois, P. Mirebeau, “The use of insulated wires Milliken conductors in high voltage power transmission underground AC line”, Jicable
- [2] . G. Schroder, J. Kaumanns, “Advanced measurement of AC resistance on skin effect reduced large conductor power cable”, International conference on insulated power cable, Jicable, June 2011
- [3] . Udo Fromm, “Optimized conductors for XLPE cables with a large cross-section”, Wiley InterScience, EUROPEAN TRANSACTIONS ON ELECTRICAL POWER , 2005

تهریه کننده

شرکت سیمکو - واحد تحقیق و توسعه و آموزش